

## ТРАНСЗВУКОВЫЕ ТЕЧЕНИЯ ГАЗА В СОПЛАХ ЛАВАЛЯ С ЛОГАРИФМИЧЕСКИМИ ОСОБЕННОСТЯМИ НА ПРЕДЕЛЬНЫХ ХАРАКТЕРИСТИКАХ

*A. L. Брежнев*

*(Саратов)*

В плоских соплах Лаваля возможны три асимптотических типа течений в окрестности центра [1]. Этот вывод был получен с использованием теоремы Брио и Буке [2] относительно поведения вблизи особой точки (образа предельной характеристики) общего интеграла обыкновенного дифференциального уравнения, к которому сводится изучение автомодельных трансзвуковых течений. Оказалось, что при некоторых значениях показателя автомодельности любая интегральная кривая может быть аналитически продолжена через эту особую точку, являющуюся узлом в задаче о сопловых течениях.

При рассмотрении течений в соплах с круглым поперечным сечением также полезно рассмотреть те показатели, о которых идет речь в теореме. Известно [3], что в этом случае реализуется вторая возможность альтернативы: ни одна из интегральных кривых, проходящих через узел, кроме изолированного уса, не дает аналитического продолжения. Это относится также и к усу общего направления. Другими словами, ус общего направления дает возможность аналитического продолжения при любом показателе автомодельности, за исключением тех, о которых говорится в теореме.

В [4] выполнено численное построение второго асимптотического типа течения в окрестности центра осесимметричного сопла с использованием уса общего направления. Однако в результате расчетов получился показатель  $n^* = -2,36532$  ( $xr^{-n}$  — инвариант автомодельного решения), что близко к  $n_1 = -2,36589$  — одному из тех, которые обсуждаются в теореме.

Заметим, что совпадение  $n^* = n_1$  означает невозможность второго асимптотического типа течения в окрестности центра осесимметричного сопла. Кроме того, при  $n$ , близких к  $n_1$ , примененная в [4] методика отхода от особой точки с помощью степенного ряда является некорректной, поскольку все коэффициенты ряда, начиная с некоторого, стремятся к бесконечности при  $n \rightarrow n_1$ . По-видимому, в осесимметричных соплах Лаваля реализуются лишь течения со слабыми разрывами на приходящих предельных характеристиках, если показатель автомодельности  $n$  изменяется в интервале  $2 < n < \infty$ .

Ниже рассмотрены показатели  $n_1$ ,  $n_2$ ,  $n_3$ , к которым сводится теорема в случае осесимметричных сопел. Вдоль приходящей характеристики в центр сопла распространяется логарифмический разрыв в производных компонент скорости по координатам (при  $n = n_1$  разрыв в третьих, при  $n = n_2$  — в четвертых, при  $n = n_3$  — в пятых производных). После отражения особенности от центра сопла в случае  $n = n_1$  возникает слабый разрыв на уходящей предельной характеристике, в случае  $n = n_2$  — предельная линия, не устранимая скачком уплотнения, в случае  $n = n_3$  — ударная волна.

**1. Осесимметричные течения газа в околозвуковом приближении описываются уравнением Кармана**

$$(1.1) \quad -\varphi_x \varphi_{xx} + \varphi_{rr} + (1/r)\varphi_r = 0,$$

где  $x$ ,  $r$  — цилиндрические координаты;  $\varphi$  — потенциал возмущений однородного звукового потока. Для исследования течений в соплах Лаваля с круглым поперечным сечением рассмотрим задачу Коши: найти решение уравнения (1.1), удовлетворяющее на оси симметрии  $r = 0$  условиям

$$(1.2) \quad \varphi_x = -A_1|x|^k \quad (x < 0); \quad \varphi_x = A_2x^k \quad (x > 0), \quad A_1 > 0, \quad A_2 > 0.$$

Если в потоке возникает ударная волна, то решение должно удовлетворять дополнительным условиям на фронте волны

$$\varphi_1 = \varphi_2, \quad 2[dx(r)/dr]^2 = \varphi_{x1} + \varphi_{x2},$$

где индексы относятся к параметрам газа по разные стороны фронта;  $x = x(r)$  — уравнение скачка.

Задача Коши (1.1), (1.2) при  $1 < k < 2$  исследовалась в [4]. Ниже будет рассмотрено соответствующее решение при

$$(1.3) \quad \begin{aligned} k &= k_1 = (7 + 2 \cdot 21^{1/2})/14 = 1,15465, \\ k &= k_2 = (26 + 25 \cdot 2^{1/2})/41 = 1,49647, \\ k &= k_3 = (7 + 91^{1/2})/3/28 = 1,77208, \end{aligned}$$

когда на предельной характеристике  $C_0^-$ , приходящей в центр сопла, возникает логарифмическая особенность в высших производных составляющих скорости по координатам.

2. Задача Коши (1.1), (1.2) обладает автомодельным решением

$$\varphi = r^{3n-2}q(\zeta), \quad \zeta = xr^{-n}, \quad n = 2/(2 - k),$$

причем уравнение ударного фронта имеет вид  $\zeta = \text{const}$ .

Функция  $q(\zeta)$  удовлетворяет обыкновенному дифференциальному уравнению

$$(2.1) \quad (n^2\zeta^2 - q')q'' - n\zeta(5n - 4)q' + (3n - 2)^2q = 0.$$

Для построения потока во входной части сопла между полуосью  $x < 0$  и характеристикой  $C_0^-$  необходимо использовать интегральную кривую уравнения (2.1) (обозначим ее  $S$ ), которая в окрестности точки  $\zeta = -\infty$  описывается разложением [3]

$$(2.2) \quad \begin{aligned} q &= \sum_{i=0}^{\infty} d_i |\zeta|^{(3n-2-2i)/n}, \quad d_0 = nA_1/(3n-2), \\ d_i &= (-2n+1+i)/(4n^3i^2) \sum_{j=0}^{\infty} (3n-2-2j)(3n-2i+2j) d_j d_{i-1-j}. \end{aligned}$$

Разложение (2.2) определяет кривую  $S$  от точки  $\zeta = -\infty$  до некоторой особой точки  $\zeta_c$ , соответствующей предельной характеристике. Точка  $\zeta_c$  определяется равенствами

$$n^2\zeta_c^2 - q'(\zeta_c) = 0, \quad n\zeta_c(5n-4)q'(\zeta_c) = (3n-2)q(\zeta_c)$$

и при  $1 < k < 2$  ( $2 < n < \infty$ ) является узлом.

Общий интеграл уравнения (2.1) в окрестности  $\zeta_c$  запишем в виде

$$(2.3) \quad \begin{aligned} q &= \sum_{i=0}^E a_i \zeta_c^{3-i} \Delta^i + a_\mu \zeta_c^{3-\mu} \Delta^\mu + \dots, \quad \Delta = \zeta - \zeta_c, \\ \mu &= (14n-8)/(7n-4-R), \quad R = (25n^2 - 56n + 32)^{1/2}, \end{aligned}$$

где  $\mu$  — показатель степени первого члена нерегулярной части;  $E$  — наибольшее целое число, не превосходящее  $\mu$ ;  $a_\mu$  — произвольная постоянная; коэффициенты  $a_i$  ( $0 \leq i \leq E$ ) имеют вид ( $\mu \neq 4, 5, 6$ )

$$(2.4) \quad a_0 = n^3(5n-4)(3n-2)^{-2}, \quad a_1 = n^2, \quad a_2 = (4-3n+R)n/4,$$

$$a_i = A_i/B_i, \quad A_i = -a_{i-1}[n(i-4)+2]^2 + (i/2) \sum_{j=3}^{i-1} j(i+2-j)a_j a_{i+2-j},$$

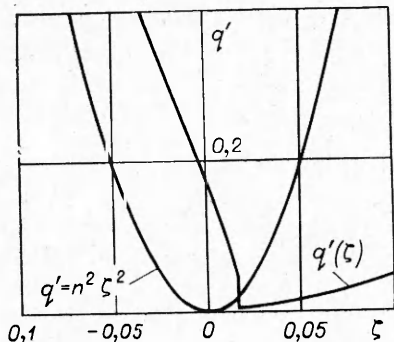
$$B_i = (ni/2)(7n-4-R)(i-\mu), \quad 3 \leq i \leq E.$$

Если  $k$  принимает значения (1.3), то величины  $n$ ,  $\mu$  соответственно равны

$$n = n_1 = (21 + 2 \cdot 21^{1/2})/51, \quad \mu = 4,$$

$$n = n_2 = (56 + 25 \cdot 2^{1/2})/23, \quad \mu = 5,$$

$$n = n_3 = (35 + 3 \cdot 91^{1/2})/4/29, \quad \mu = 6.$$



постоянна; остальные коэффициенты имеют вид

$$(2.6) \quad b_\mu = A_\mu / (7n^2 - 4n), \quad b_{\mu+1} = \{ -b_\mu(n\mu - 3n + 2)^2 + \\ + 3\mu(\mu + 1)a_3b_\mu \} / B_{\mu+1}, \quad a_{\mu+1} = \{ A_{\mu+1} - b_\mu[4n + \\ + 2n^2(\mu - 3) - 3(2\mu + 1)a_3] - nb_{\mu+1}(14n - 8 - R) \} / B_{\mu+1}.$$

При  $\zeta \rightarrow \zeta_c = 0$  кривая  $S$  описывается разложением (2.5), где  $a_\mu$  — конкретное число, заранее не известное ( $\mu = 4, 5, 6$ ). Для определения этого числа уравнение (2.1) было проинтегрировано от точки  $\zeta = -\infty$  с начальными данными (2.2) до точки  $\zeta = \zeta_c$ . Расчеты, проведенные на ЭВМ М220М, показывают, что кривой  $S$  отвечают значения

$$(2.6) \quad \mu = 4, a_\mu = 2,73; \quad \mu = 5, a_\mu = -0,0298; \\ \mu = 6, a_\mu = -0,00811.$$

3. При  $\zeta > \zeta_c$  обозначим через  $S$  интегральную кривую уравнения (2.1), которая при  $\zeta \rightarrow \zeta_c + 0$  определяется разложением (2.5) со значением коэффициента  $a_\mu$ , даваемым в (2.6). Для продолжения течения за характеристику  $C_0^-$  будем использовать кривую  $S$ .

До предельной характеристики  $C_0^-$  во всех трех случаях (1.3) поток разгоняется, переходя через скорость звука, затем притормаживается, оставаясь сверхзвуковым. За предельной характеристикой поведение потоков различное.

При  $k = 1,15465$  поток сначала продолжает тормозиться, а затем ускоряется, причем  $A_2 = 0,532A_1$ . Поведение функции  $q''(\zeta)$ , характеризующей изменение продольной компоненты скорости вдоль прямой  $r = \text{const}$ , близко к изображенному на фиг. 43 работы [3]. При расчетах полагалось  $A_1 = 2,15465$ .

При  $k = 1,49647$  в течении возникает предельная линия, которую невозможно устраниТЬ введением скачка уплотнения. При  $k = 1,77208$  в центре сопла зарождается ударная волна, сносимая затем вниз по потоку. Заметим, что  $A_2 = 0,0867A_1$ . График функции  $q'$  изображен на figure. В расчетах полагалось  $A_1 = 8,31623$ . Уравнение скачка  $\zeta = 0,0177$ .

Если продолжить поток за предельную характеристику  $C_0^-$ , используя произвольную интегральную кривую, отличную от  $S$ , то во всех трех случаях (1.3) можно получить как непрерывные течения, так и с ударными волнами, существование которых было указано в [4].

Автор выражает благодарность И. А. Чернову за постановку задачи.

#### ЛИТЕРАТУРА

- Лифшиц Ю. Б., Рыжков О. С. Об асимптотическом типе плоскопараллельного течения в окрестности центра сопла Лаваля.— ДАН СССР, 1964, т. 154, № 2.
- Гурея Э. Курс математического анализа. Т. 2. ГТТИ, 1933.

3. Рыжов О. С. Исследование трансзвуковых течений в соплах Лаваля. М., изд. ВЦ АН СССР, 1965.
4. Лифшиц Ю. Б., Рыжов О. С. О переходе через скорость звука в соплах Лаваля с круглым поперечным сечением.—ДАН СССР, 1964, т. 158, № 3.

УДК 532.526

## ЭФФЕКТИВНОСТЬ ГАЗОВОЙ ЗАВЕСЫ В СОПЛАХ ЛАВАЛЯ НА НЕРАСЧЕТНЫХ РЕЖИМАХ ТЕЧЕНИЯ

*Э. П. Волчков, В. К. Козьменко, В. П. Лебедев  
(Новосибирск)*

Известно, что в сверхзвуковой части сопла Лаваля на режимах перерасширения процессы теплопередачи имеют особенности, вызванные взаимодействием скачков уплотнения с пограничным слоем [1]. В этих условиях при организации защиты стенок с помощью газовой завесы от воздействия высокотемпературного потока необходимо учитывать как тепловые параметры, так и динамические характеристики режима течения. Опытные данные на плоской пластине [2] показывают, что падающие извины скачки существенно снижают эффективность завесного охлаждения.

В данной работе приводятся экспериментальные данные по эффективности газовой завесы в сверхзвуковых конических соплах, работающих на режимах перерасширения. Завеса образуется вдувом воздуха через кольцевую щель, расположенную на входе в сопло. Экспериментальные результаты сравниваются с опытными данными, полученными в этих же соплах при расчетных режимах течения.

Описание экспериментальной установки, измерительной аппаратуры и методов измерений приведено в работе [3]. Рабочие участки — сменные сверхзвуковые конические сопла — выполнены из текстолита. В опытах использовались сопла  $30 - 6^\circ$  ( $\alpha_1 = 30^\circ$  и  $\alpha_2 = 6^\circ$  — полууглы дозвуковой и сверхзвуковой конических частей соответственно) и  $30 - 15^\circ$ . Сопла имели одинаковые диаметры входа ( $D_+ = 80$  мм) и критического сечения ( $D_* = 20$  мм). Контуры сопла во входной части и в области горла выполнен в виде дуг окружностей с радиусами, составляющими 0,7 и 1,5 от радиусов соответствующих поперечных сечений. Диаметр на выходе для сопла  $30 - 6^\circ$  равен 50 мм, а для сопла  $30 - 15^\circ$  — 90 мм.

Для измерения температуры стенки вдоль одной образующей сопла заподлицо с внутренней поверхностью установлены никром-константановые термопары, изготовленные из проволоки диаметром 0,2 мм. В тех же сечениях, где расположены термопары, на различных образующих сопла, просверлены отверстия диаметром 0,4 мм для измерения статического давления.

В проведенных экспериментах воздух основного потока имел температуру торможения в форкамере  $T_0 \approx 300$  К, близкую к температуре окружающей среды. Вдуваемый воздух нагревался в среднем до  $T_s \approx 360$  К. Скорость основного потока на входе в сопло равна 14—15 м/с. Параметр вдува  $m = \rho_s w_s / \rho_0 w_0 = 0,1 - 0,7$ . Здесь  $\rho_0$ ,  $w_0$  и  $\rho_s$ ,  $w_s$  — плотность и скорость основного и вторичного потоков в сечении среза щели. Опыты проведены при давлении торможения основного потока в форкамере  $p_0 = 2 - 8$  кг/см<sup>2</sup>. При этом режимы перерасширения наблюдались в сопле  $30 - 6^\circ$  при  $p_0 < 5$  кг/см<sup>2</sup>, а в сопле  $30 - 15^\circ$  — во всем исследованном диапазоне давлений.

Известно, что на режимах перерасширения в сверхзвуковой части сопла образуются скачки уплотнения. При малых перепадах давления